

Laser Blade XS

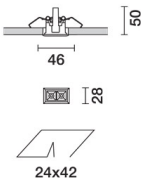
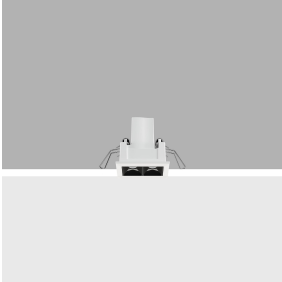
Design iGuzzini

iGuzzini

Dernière mise à jour des informations: Mai 2025

Configuration du produit: Q465

Q465: Frame 2 cellules - Flood beam - LED



Référence produit

Q465: Frame 2 cellules - Flood beam - LED

Description technique

Appareil miniaturisé encastrable linéaire à 2 éléments optiques pour sources LED - optiques fixes. Malgré les dimensions extrêmement réduites du produit, la technologie brevetée du système optique garantit un flux efficace et un confort visuel élevé, à éblouissement contrôlé. Corps principal à surface rayonnante en fonte de zamak, version avec cadre de finition. Réflecteurs Opti Beam à haute définition en matière thermoplastique métallisée, intégrés en position renforcée dans l'écran anti-éblouissement. Transformateur non compris, à commander séparément.

Installation

À encastrer avec ressorts en fil d'acier pour faux-plafonds de 1 à 25 mm - ouverture de préparation 24 x 42

Coloris

Blanc (01) | Noir/Noir (43) | Blanc/Noir (47) | Blanc/Or (41)* | Gris/Noir (74)* | Blanc / chrome bruni (E7)*

Poids (Kg)

0.11

* Couleurs sur demande

Montage

encastré mural|encastré au plafond

Câblage

Ballasts à courant constant à commander séparément : ON-OFF - réf. MXF9 (min 1 / max 4) ; gradable DALI - réf. BZM4 (min 1 / max 10) - vérifier sur la notice les longueurs et sections compatibles des câbles à utiliser.

Conforme à la norme EN60598-1 et à la réglementation en vigueur (o 'à la réglementation relative')



IP20

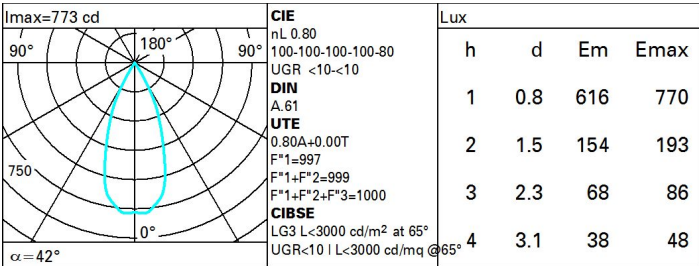
IP23



Données techniques

| | | | |
|--|-----|--------------------------------------|---------------------------------|
| Im du système: | 368 | IRC (minimum): | 90 |
| W du système: | 4 | Température de couleur [K]: | 4000 |
| Im source: | 460 | MacAdam Step: | 2 |
| W source: | 4 | Durée de vie LED 1: | > 50,000h - L80 - B10 (Ta 25°C) |
| Efficacité lumineuse (lm/W, valeurs du système): | 92 | Code Lampe: | LED |
| Im en mode secours: | - | Nombre de lampes par groupe optique: | 1 |
| Flux total émis à un angle de 90° ou plus [Lm]: | 0 | Code ZVEI: | LED |
| Light Output Ratio (L.O.R.) [%]: | 80 | Nombre de groupes optiques: | 1 |
| Angle d'ouverture [°]: | 42° | LED Courant [mA]: | 700 |

Polaire



Coefficients d'utilisation

| R | 77 | 75 | 73 | 71 | 55 | 53 | 33 | 00 | DRR |
|------|----|----|----|----|----|----|----|----|-----|
| K0.8 | 72 | 69 | 66 | 64 | 68 | 66 | 65 | 63 | 78 |
| 1.0 | 75 | 72 | 70 | 68 | 71 | 69 | 69 | 66 | 83 |
| 1.5 | 79 | 77 | 75 | 73 | 76 | 74 | 73 | 71 | 89 |
| 2.0 | 82 | 80 | 78 | 77 | 79 | 77 | 76 | 74 | 93 |
| 2.5 | 83 | 82 | 81 | 80 | 81 | 80 | 79 | 77 | 96 |
| 3.0 | 84 | 83 | 82 | 82 | 82 | 81 | 80 | 78 | 98 |
| 4.0 | 85 | 84 | 84 | 83 | 83 | 83 | 81 | 79 | 99 |
| 5.0 | 86 | 85 | 85 | 84 | 84 | 83 | 82 | 80 | 100 |

Courbe limite de luminance

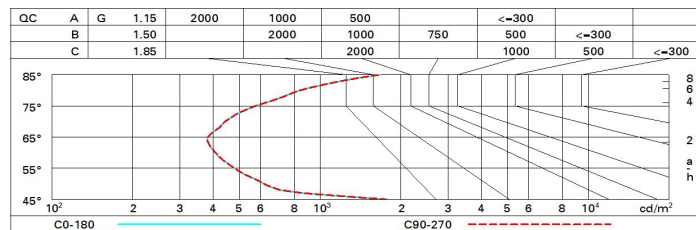


Diagramme UGR

| Corrected UGR values (at 400 lm bare lamp luminous flux) | | | | | | | | | | | |
|---|------|---------------------|-----|-----|-----|-----|-------------------|-----|-----|-----|-----|
| Reflect.: ceiling/cav walls work pl. Room dim x y | | viewed crosswise | | | | | viewed endwise | | | | |
| 2H | 2H | 8.8 | 9.2 | 9.0 | 9.5 | 9.7 | 8.8 | 9.2 | 9.0 | 9.5 | 9.7 |
| | 3H | 8.6 | 9.1 | 8.9 | 9.3 | 9.6 | 8.6 | 9.1 | 8.9 | 9.3 | 9.6 |
| | 4H | 8.6 | 9.0 | 8.9 | 9.3 | 9.6 | 8.6 | 9.0 | 8.9 | 9.3 | 9.6 |
| | 6H | 8.5 | 8.9 | 8.9 | 9.2 | 9.5 | 8.5 | 8.9 | 8.8 | 9.2 | 9.5 |
| | 8H | 8.5 | 8.9 | 8.9 | 9.2 | 9.5 | 8.5 | 8.8 | 8.8 | 9.1 | 9.5 |
| | 12H | 8.5 | 8.8 | 8.9 | 9.2 | 9.5 | 8.4 | 8.8 | 8.8 | 9.1 | 9.4 |
| 4H | 2H | 8.6 | 9.0 | 8.9 | 9.3 | 9.6 | 8.6 | 9.0 | 8.9 | 9.3 | 9.6 |
| | 3H | 8.4 | 8.8 | 8.8 | 9.1 | 9.5 | 8.4 | 8.8 | 8.8 | 9.1 | 9.5 |
| | 4H | 8.3 | 8.7 | 8.7 | 9.0 | 9.4 | 8.3 | 8.7 | 8.7 | 9.0 | 9.4 |
| | 6H | 8.3 | 8.6 | 8.7 | 9.0 | 9.4 | 8.3 | 8.5 | 8.7 | 8.9 | 9.4 |
| | 8H | 8.3 | 8.5 | 8.7 | 8.9 | 9.4 | 8.2 | 8.5 | 8.7 | 8.9 | 9.3 |
| | 12H | 8.3 | 8.5 | 8.7 | 8.9 | 9.4 | 8.2 | 8.4 | 8.6 | 8.8 | 9.3 |
| 8H | 4H | 8.2 | 8.5 | 8.7 | 8.9 | 9.3 | 8.3 | 8.5 | 8.7 | 8.9 | 9.4 |
| | 6H | 8.2 | 8.4 | 8.6 | 8.8 | 9.3 | 8.2 | 8.4 | 8.7 | 8.9 | 9.3 |
| | 8H | 8.2 | 8.3 | 8.7 | 8.8 | 9.3 | 8.2 | 8.3 | 8.7 | 8.8 | 9.3 |
| | 12H | 8.2 | 8.4 | 8.7 | 8.8 | 9.4 | 8.1 | 8.3 | 8.6 | 8.8 | 9.3 |
| 12H | 4H | 8.2 | 8.4 | 8.6 | 8.8 | 9.3 | 8.3 | 8.5 | 8.7 | 8.9 | 9.4 |
| | 6H | 8.1 | 8.3 | 8.6 | 8.8 | 9.3 | 8.2 | 8.4 | 8.7 | 8.9 | 9.4 |
| | 8H | 8.1 | 8.3 | 8.6 | 8.8 | 9.3 | 8.2 | 8.4 | 8.7 | 8.8 | 9.4 |
| Variations with the observer position at spacing: | | | | | | | | | | | |
| S = | 1.0H | 6.7 / -8.9 | | | | | 6.7 / -8.9 | | | | |
| | 1.5H | 9.5 / -9.1 | | | | | 9.5 / -9.1 | | | | |
| | 2.0H | 11.5 / -9.3 | | | | | 11.5 / -9.3 | | | | |